

**А. В. КУЖУТОВ, В. А. ЛЕУС, Н. С. ПОЛЕЩУК**  
*(Новосибирск)*

## ЧИСЛЕННЫЙ СИНТЕЗ ТОНОВОГО ИЗОБРАЖЕНИЯ ОСВЕЩЕННОЙ ПОВЕРХНОСТИ И РАСТРОВАЯ ВИЗУАЛИЗАЦИЯ

Физический процесс оптического изображения 3-мерных тел, поверхности которых рассеивают падающий свет, моделируется на электронно-вычислительных устройствах [1]. Поверхность заменяют многоугольником, вычисляют освещенность каждой грани в зависимости от ориентации и расстояния до источника света, проецируют грани на картинную плоскость и учитывают их взаимное закрытие. Вычисляемая матрица яркостей управляет интенсивностью электронного луча при выводе изображения на ЭЛТ.

В данной работе предлагается методика численного синтеза тоновых изображений, использующая дискретную модель поверхности. Описывается система отображения растрового типа, разработанная и созданная в Институте математики СО АН СССР. По предложению А. В. Федотова в системе предусмотрена возможность регистрации моделей динамических процессов в форме магнитной видеозаписи.

**Дискретная модель поверхности.** Совокупность 3-мерных тел, определенным образом расположенных в системе декартовых координат ( $X, Y, Z$ ), называется объектом. В памяти ЭВМ объекту соответствует массив данных. В нем принята иерархическая структура, чтобы передать степени свободы или связности тел при перемещениях. Объект делится на предметы в координатах ( $x, y, z$ ), предметы, в свою очередь, делятся на детали в координатах ( $\xi, \eta, \zeta$ ) и т. д. Координатные системы связаны между собой матрицами перехода  $B_1, B_2, \dots, B_J$ . Количество уровней  $J$  зависит от того, сколько кинематически соподчиненных степеней следует выделить. На самом низком уровне каждой цепи в этой иерархии находится численная модель поверхности, физическим образом которой является непрозрачная твердая оболочка.

Универсальной информационной единицей численной модели является ДЭП — дискретный элемент поверхности. В нашем случае ДЭП содержит:  $\xi, \eta, \zeta$  — координаты точки на поверхности;  $\lambda, \mu, \nu$  — координаты единичного вектора нормали;  $a_{(+1)}$  и  $a_{(-1)}$  — коэффициенты, характеризующие отражательную способность сторон поверхности.

ДЭПы вычисляются с любой степенью дискретности на основании минимального исходного задания поверхности каркасом. Каркас есть конечная совокупность координатных линий  $\{u_i, v_j\}$  криволинейных координат на поверхности. Выбирая на каркасных кривых подходящие последовательности точек и используя их в качестве узлов интерполяции, можно получить приближенные точки поверхности и нормали в них. В работе [2] показана зависимость погрешности подобной аппроксимации от кривизны поверхности и диаметра каркасных ячеек.

**Синтез изображения.** Для получения перспективного изображения объекта задаются:  $F$  — центр проецирования,  $v$  — вектор осевой линии пирамиды видимости,  $p$  — положение картинной плоскости,  $S$  — источник света,  $I$  — светимость источника,  $l$  — вектор осевой линии пирамиды освещения,  $q$  — положение световой плоскости,  $m_F$  и  $m_S$  — масштабные множители. Объект вместе с этими параметрами называется сценой, для которой выбирается удобная в вычислительном смысле система координат ( $X, Y, Z$ ) (рис. 1).

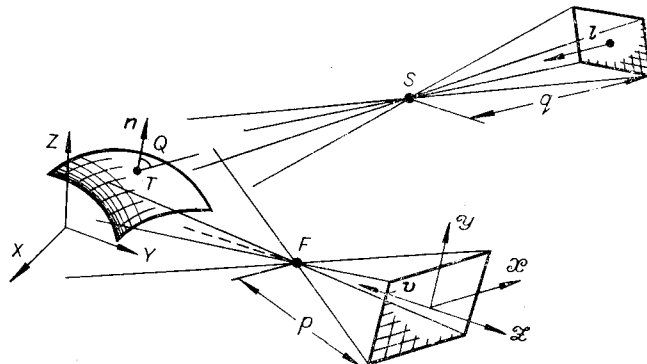


Рис. 1. Построение изображения объекта.

Задание поверхностей совокупностями ДЭПов определяет специфику алгоритмов затенения и удаления закрытых частей. Предлагаемые алгоритмы радикально отличаются от алгоритмов Робертса, Варнока и других зарубежных авторов [1].

Соответственно каждому раству будущего изображения в памяти вычислительной машины отводится массив ДЭК — дискретный элемент картины. Геометрически это распределение памяти эквивалентно разбиению пирамид видимости и освещения на элементарные телесные углы. В каждом ДЭКе резервированы места для трех величин:  $\rho_F$ ,  $\rho_S$  и  $E$ .

Вычислительный процесс строится следующим образом. Перебираются ДЭПы объекта.

1. Если информация объекта исчерпана, происходит переход на пункт 4. В ином случае для очередного ДЭПа умножением на соответствующую матрицу  $B = B_0 \times B_1 \times \dots \times B_J$  получаются координаты текущей точки  $T$  и вектора нормали в системе сцены. На основании полученных координат точки определяются элементарные телесные углы в пирамидах видимости и освещения, содержащие данную точку, и вырабатываются адреса  $A_F$  и  $A_S$  соответствующих ДЭКов.

2. Если  $|\vec{TF}| > \rho_F$ , точка  $T$  не видна и осуществляется возврат на пункт 1. Если  $|\vec{TF}| < \rho_F$ , величина  $|\vec{TF}|$  заносится на место  $\rho_F$  по адресу  $A_F$ .

3. Если  $|\vec{TS}| > \rho_S$ , точка  $T$  экранирована и по адресу  $A_F$  заносится минимальная освещенность  $E_0$ . Если  $|\vec{TS}| < \rho_S$ , величина  $|\vec{TS}|$  заносится на место  $\rho_S$  по адресу  $A_S$  и вычисляется косинус угла  $\theta$  между нормалью и направлением на источник. Освещенность, подсчитанная согласно формуле

$$E = \frac{I \cos \theta}{|\vec{TS}|^2} a_{(\text{sign cos}\theta)} + E_0,$$

заносится по адресу  $A_F$ . (Возврат к пункту 1.)

4. Начинается второй просмотр информации объекта.  
5. Если объект исчерпан, алгоритм заканчивает работу. В противном случае для очередного ДЭПа проводятся вычисления 1-го пункта.

6. Если  $|\vec{TS}| > \rho_S$ , по адресу  $A_F$  заносится  $E_0$ . Если  $|\vec{TS}| < \rho_S$ , производится возврат на пункт 5.

По окончании работы алгоритма находящиеся в ДЭКАх значения  $E$  принимаются на элементы матрицы яркостей. Возможен и более сложный расчет яркостей, например с учетом заданной индикатрисы рассеяния или других оптических и психофизических тонкостей. Нетрудно моделировать освещение от нескольких источников или из «бес-

**конечности».** Однако все эти усовершенствования ни в коей мере не затрагивают сущности растрового алгоритма.

Идея растрового алгоритма была высказана в [2] в связи с получением штриховых изображений. Там же отмечалась линейная зависимость объема вычислений от  $N$ -информационности объекта. Позднее в работе [3] был проведен анализ эффективности различных подходов и сделан вывод не в пользу растрового алгоритма. Это заключение справедливо лишь для случая описания плоских или слабо искривленных поверхностей с многоугольными гранями. При описании объектов со сложным рельефом количество граней настолько возрастает, что становится сравнимым с числом дискретных элементов. В такой ситуации растровый алгоритм уже имеет преимущество. Как доказано в работе [2], растровый алгоритм обладает высоким показателем параллельности. На мультипроцессорном вычислителе он в принципе может дать исключительно слабую (порядка  $\log N$ ) зависимость времени счета от информационной емкости данных.

**Система отображения.** Полученная алгоритмическим путем матрица яркостей хранится в памяти ЭВМ, и ее преобразование в кадр видимого тонового изображения, накопление кадров и тем более оперативное отображение полученного фильма представляет сложную техническую задачу. В настоящее время для этой цели используют устройства вывода на микрофильм, с помощью которых информация регистрируется на кинопленку. Вслед за регистрацией неизбежна фотохимическая обработка пленки, что делает невозможным просмотр фильма сразу после его вывода из ЭВМ. Для оперативного отображения полученного с помощью ЭВМ фильма создана система, в которой изображения в процессе работы ЭВМ накапливаются на видеомагнитофоне в виде фильма и могут быть немедленно воспроизведены. Суть работы системы состоит в следующем. Цифровая информация преобразуется в аналоговую и фиксируется в промежуточной памяти. Затем следует преобразование в стандартный видеосигнал и запись на магнитную ленту видеомагнитофона, параллельно которой осуществляется контрольная визуализация. Оперативный просмотр записанного видеофильма реализуется выводом на обычный телеприемник в кадровом или фильмовом режимах.

Структурная схема системы отображения приведена на рис. 2. Система состоит из следующих основных блоков: согласования с ЭВМ (интерфейса), промежуточной памяти, разверток записи, разверток чтения, видеозаписи. В структуре и конструкции системы учтены некоторые особенности решения практических задач моделирования динамики сложных объектов на ЭВМ. Исходным было требование обеспечения оперативного отображения синтезированного вычислительной машиной фильма с применением доступных технических средств.

Для этой цели нами использована телевизионная техника и телевизионные методы формирования изображения. Это, в свою очередь, влечет необходимость большого объема памяти для хранения изображения и ее высокого быстродействия. При дискретности раstra  $160 \times 128$  точек с 32 различными уровнями яркости требуется память более  $10^5$  бит информации. Такая дискретность продиктована в нашем случае вычислительными возможностями, тогда как аппаратура рассчитана на большее —  $640 \times 512$  точек раstra.

Можно выделить две особенности системы. Первая состоит в согласовании скорости вывода информации из вычислительной машины и скорости записи ее на магнитофоне. Для согласования использована запоминающая электронно-лучевая трубка (ЗЭЛТ) [4]. Перемещение электронного луча по рабочему полю мишени осуществлено фокусирующей-отклоняющей системой ФОС-108, на которую нагружены поочередно подключающиеся две пары  $X_s, Y_s$  и  $X_q, Y_q$  усилителей отклонения.

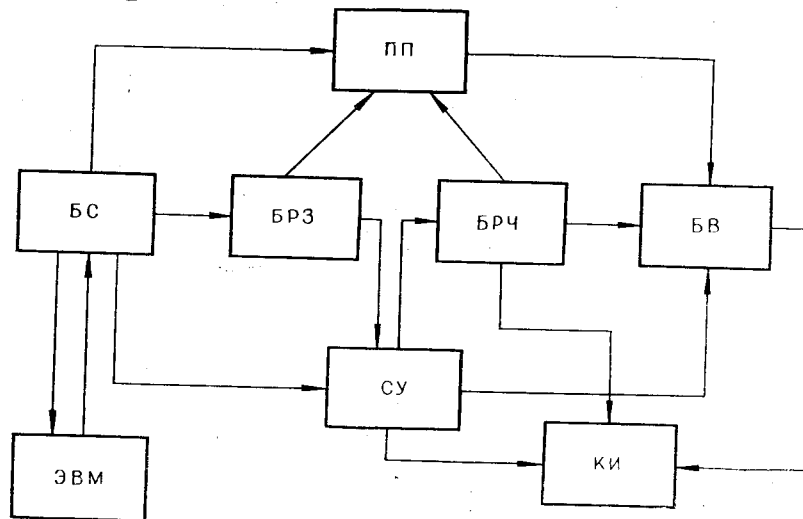


Рис. 2. Структурная схема системы отображения:

ПП — промежуточная память, БС — блок согласования, БРЗ — блок разверток записи, БРЧ — блок разверток чтения, БВ — блок видеозаписи, СУ — схема управления, КИ — контрольный индикатор.

Информация об изображении преобразуется в сигналы формирования растра с помощью блока разверток записи. Последний вырабатывает пару синхронных  $X_q$ ,  $Y_q$  линейно-меняющихся ступенчатых сигналов, которые поступают от цифроаналоговых преобразователей, управляемых счетчиками элементов и строк. Во время формирования изображения на мишени ЗЭЛТ обмен информацией блока согласования с вычислительной машиной происходит со скоростью, соответствующей пропускной способности устройства обмена машины. При обмене массив изображения из ЭВМ поступает семиразрядными кодами, из них пять разрядов управляют яркостью луча, шестой и седьмой используются для синхронизации строк и кадра соответственно. Изображение запоминается на мишени ЗЭЛТ в виде потенциального рельефа, сразу же после запоминания к отклоняющей системе подключается блок разверток чтения. Этот блок формирует на мишени ЗЭЛТ считающий растр. Путем построчного сканирования мишени эквивалент изображения считывается с ЗЭЛТ в виде стандартного телевизионного видеосигнала и подается на видеомагнитофон для записи, а также на контрольный индикатор.

Вторая особенность системы состоит в реализации в видеомагнитофоне режима записи единичных кадров изображения. Сущность режима состоит в том, что в видеомагнитофон типа ВК-1/2 вмонтирован привод шагового протягивания ленты, содержащий ведущую ось и прижимной ролик. В качестве ведущей оси использован тонвал, соединенный с осью шагового двигателя. Согласование вращения блока головок с моментом записи изображения на ленте и ее протягиванием на шаг записи обеспечивает схема управления. На ее вход подается импульс «Конец кадра» с блока разверток записи, а с видеомагнитофона — импульсы полей и кадров. При этом производится один цикл записи, за время которого на ленте записывается заданное число полукадров изображения 1—16. Кадровые импульсы в заданные моменты времени на определенные интервалы времени подключают усилитель к записывающей головке, а импульсы полей синхронизируют протягивание ленты на шаг записи.

Воспроизведение полученной видеозаписи осуществляется при непрерывном протягивании ленты. В качестве контрольного индикатора используется обычный телевизионный приемник.

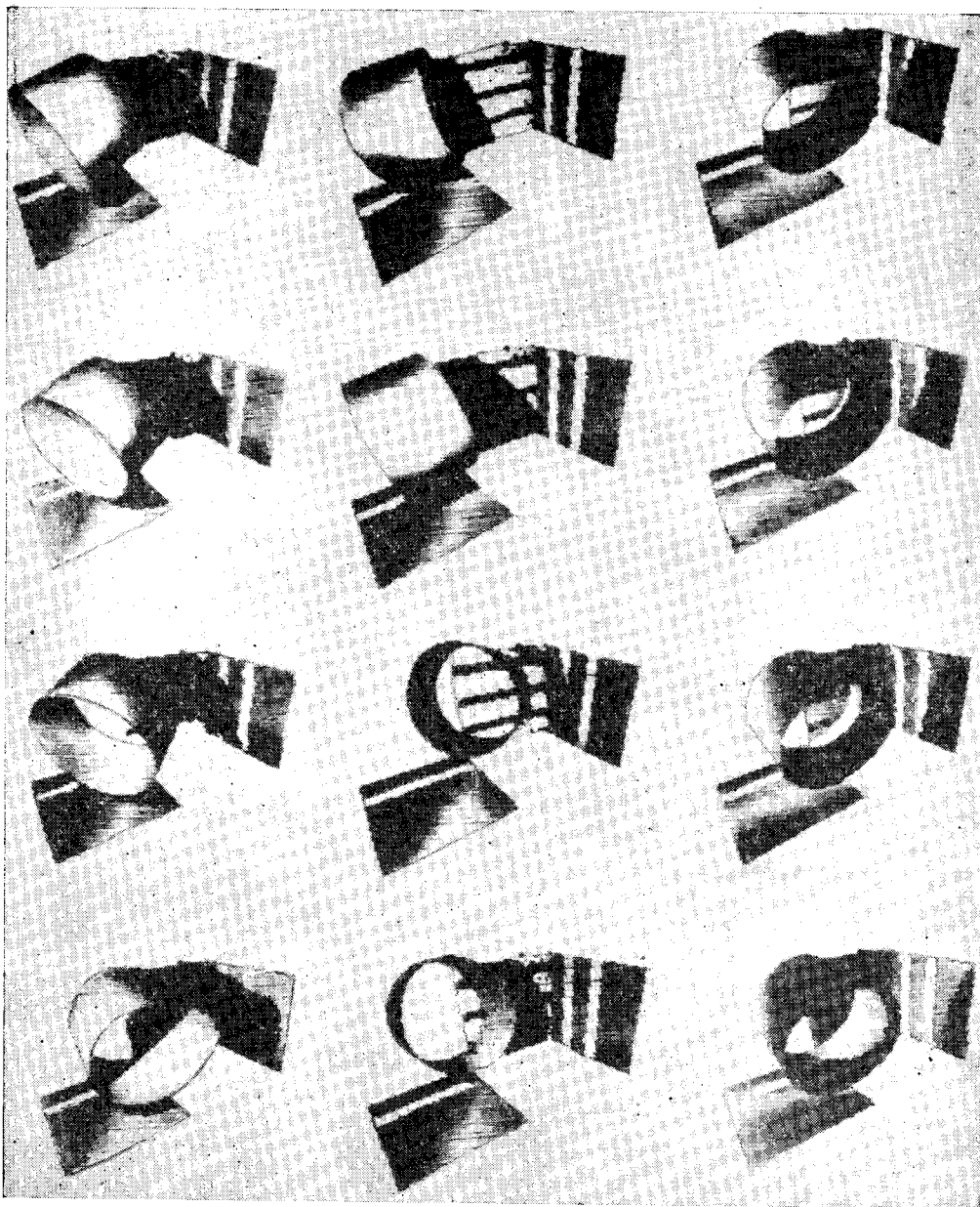


Рис. 3. Растворная кинограмма кинематического процесса.

**Заключение.** В реализации тонового изображения численной модели пространственного объекта отражено единство технической и алгоритмической сторон 3-мерной машинной графики. Данная работа обединила новый подход к численному синтезу изображений с компактной и недорогой системой визуализации. Визуальное отображение динамической модели — это многокадровый фильм, при получении которого всесторонне испытываются на жизнеспособность и численный метод, и технические решения. На рис. 3 приведена кинограмма движения, которое моделировалось в ЭВМ и выводилось через систему отображения. Полученные результаты позволяют надеяться на достижение в будущем естественности изображений численных моделей. Наглядное

представление на телевизионном экране решений пространственных задач с успехом заменит труднообозримые колонки цифр и традиционные семейства графиков. Благодаря документированию видеозаписей динамических моделей появится возможность оперативно и многократно анализировать сложные процессы независимо от ЭВМ.

#### Л И Т Е Р А Т У Р А

1. Ньюмен У., Спрулл Р. Основы интерактивной машинной графики. М., «Мир», 1976.
2. Леус В. А. Перспективное изображение трехмерных непрозрачных объектов.— В кн.: Вычислительные системы. Вып. 50 Новосибирск, изд. ИМ СО АН СССР, 1972.
3. Sutherland Ivan E., Sproull Robert F., Schumacker Robert A. A characterization of ten hidden-surface algorithms.— "ACM Computing Surveys", 1974, vol. 6, N 1, p. 1—55.
4. Харчтян Р. С., Македонский В. Л. Запоминающие трубки с окисно-кремниевой мишенью.— «Техника кино и телевидения», 1975, № 12, с 44—48.

*Поступила в редакцию 21 февраля 1978 г.*